

РАСЧЕТ ПРОСТРАНСТВЕННЫХ СТЕРЖНЕВЫХ СИСТЕМ МЕТОДОМ ГРАНИЧНЫХ ЭЛЕМЕНТОВ

Оробей В.Ф., Лазарева Д.В., Козолуп Г.Н. *(Одесский национальный политехнический университет, г.Одесса)*

Рассмотрен расчет пространственной рамы, состоящей из тонкостенных стержней, методом граничных элементов. Проведён сравнительный анализ результатов МГЭ и МКЭ.

Результатом количественного описания модели реальной системы обычно является дифференциальное уравнение или их система. Получение решения дифференциального уравнения предполагает учет конкретных свойств той области, которую занимает рассматриваемый объект, и ее границы. При этом как сама область, так и ее граница могут иметь сложную форму, а различные условия, задаваемые на границе (граничные условия), могут быть постоянными, меняться во времени и т.д. Все это приводит к отсутствию стереотипных подходов при решении практических задач, а во многих случаях и к невозможности получить аналитическое решение.

Единственным средством решения дифференциальных уравнений зачастую являются численные методы.

В данной работе используется численно-аналитический вариант МГЭ для расчета напряженно-деформированного состояния стержневой рамы. Метод основан на преобразовании интегральных соотношений метода начальных параметров в систему линейных алгебраических уравнений [1].

Сформируем расчетную схему рамы, нагруженную поперечной нагрузкой из плоскости, разбивая продольные и поперечные стержни на одномерные модули, т.е. построим ориентированный граф рассматриваемой конструкции (рис. 1).

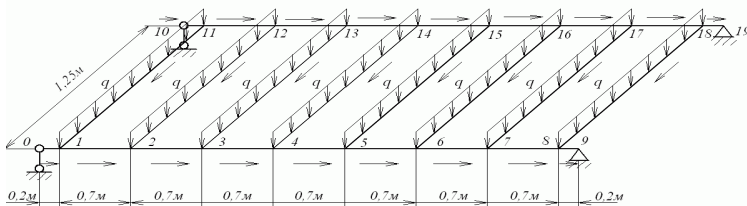


Рис. 1. Расчетная схема рамы

Вырезаем узлы 1, 2, 3, ... и составляем уравнения совместности линейных и угловых перемещений, а также уравнения равновесия узлов для поперечных сил, изгибающих моментов, крутящих моментов и бимоментов (сечение элементов рамы – тонкостенные профили двутавра и короба).

Уравнения совместности линейных и угловых перемещений (рис. 2) узла 1:

$$\begin{aligned} V^{0-1}(l) &= V^{1-2}(0) = V^{11-1}(l); \\ \varphi^{0-1}(l) &= \varphi^{1-2}(0) = \theta^{11-1}(l); \\ \theta^{0-1}(l) &= \theta^{1-2}(0) = -\varphi^{11-1}(l). \end{aligned} \quad (1)$$

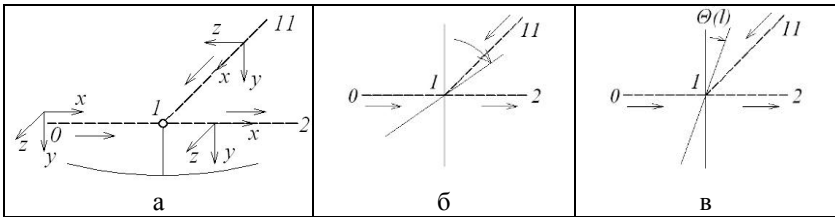


Рис. 2. Перемещения узла 1

Уравнения равновесия узла 1 для поперечных сил (рис. 3,а), изгибающих моментов (рис. 3,б), крутящих моментов (рис. 3,в) и бимоментов (рис. 3,г):

$$\begin{aligned} Q^{0-1}(l) &= Q^{1-2}(0) - Q^{11-1}(l); \\ M^{0-1}(l) &= M^{1-2}(0) + L^{11-1}(l) = \\ &= M^{1-2}(0) + M_{\omega}^{11-1}(l) + GI_k \theta^{11-1}(l); \\ M_{\omega}^{0-1}(l) &= M_{\omega}^{1-2}(0) - M^{11-1}(l); \\ B_{\omega}^{0-1}(l) &= B_{\omega}^{1-2}(0). \end{aligned} \quad (2)$$

Для узлов второго лонжерона записанные выше соотношения примут несколько иной вид.

Уравнения совместности линейных и угловых перемещений (рис. 4) узла 11:

$$\begin{aligned} V^{10-11}(l) &= V^{11-12}(0) = V^{11-1}(0); \\ \varphi^{10-11}(l) &= \varphi^{11-12}(0) = \theta^{11-1}(0); \\ \theta^{10-11}(l) &= \theta^{11-12}(0) = -\varphi^{11-1}(0). \end{aligned} \quad (3)$$

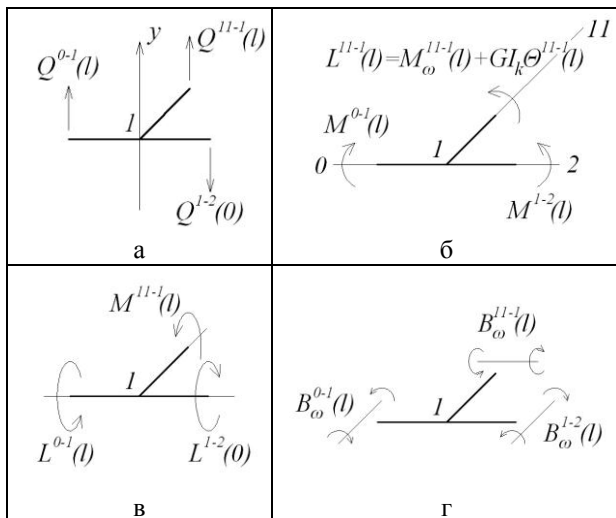


Рис. 3. Равновесие узла 1

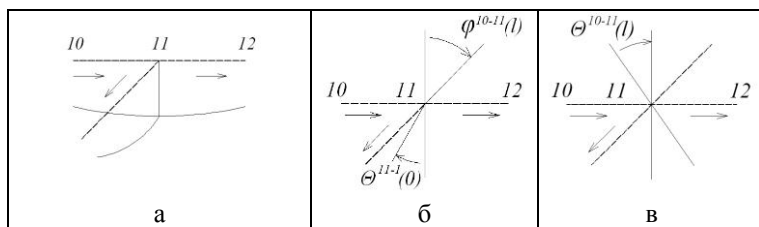


Рис. 4. Перемещения узла 11

Уравнения равновесия узла 11 для поперечных сил (рис. 5,а), изгибающих (рис. 5,б) и крутящих моментов (рис. 5,в):

$$\begin{aligned}
 Q^{10-11}(l) &= Q^{11-12}(0) + Q^{11-1}(0); \\
 M^{10-11}(l) &= M^{11-12}(0) - L^{11-1}(0) = \\
 &= M^{11-12}(0) - M_{\omega}^{11-1}(0) - GI_k \theta^{11-1}(0); \\
 M_{\omega}^{10-11}(l) &= M_{\omega}^{11-12}(0) + M^{11-1}(0).
 \end{aligned}
 \tag{4}$$

Аналогичным образом составляются уравнения совместности перемещений и уравнения равновесия для остальных узлов рамы.

Матричное уравнение имеет вид:

$$\vec{Y}(x) = \vec{A}(x)\vec{X}(0) + \vec{B}(x).
 \tag{5}$$

где векторы \bar{Y} и \bar{X} содержат параметры стержней в граничных точках $x=l$ и $x=0$. Вектор \bar{B} состоит из грузовых элементов всех стержней при $x=l$.

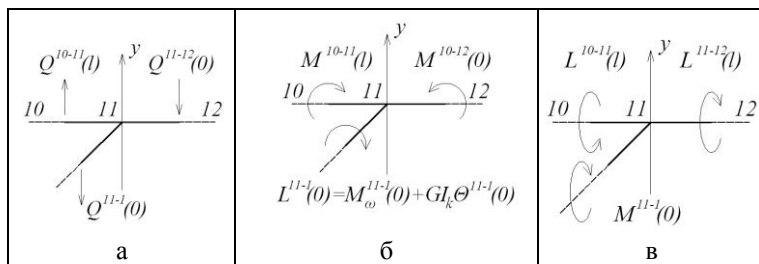


Рис. 5. Равновесие узла 11

Диагональные блоки матрицы \bar{A} — это одинаковые или разные квадратные матрицы ортонормированных фундаментальных функций, описывающих состояние стержней.

Вектор нагрузки $\bar{B}(x)$ строится аналогично векторам \bar{Y} и \bar{X} , и включает внешнюю нагрузку всех стержней системы.

Преобразование матриц уравнения (5) выполняются в соответствии со схемой:

$$\bar{Y} = \bar{A}(l)\bar{X}(0) + \bar{B}(l) \rightarrow \bar{A}(l)\bar{X}(0) - \bar{Y}(l) = \bar{B}(l) \rightarrow \bar{A}_*(l)\bar{X}_*(0, l) = -\bar{B}(l).$$

Матрица \bar{A} содержит граничные значения ортонормированных фундаментальных функций при $x=l_i$ и имеет квазидиагональную структуру.

Сущность схемы преобразования заключается в переносе конечных параметров вектора \bar{Y} на место нулевых параметров вектора \bar{X} [2]. При этом вектор \bar{Y} становится нулевым и исключается из рассмотрения. Матрица A_* обнуляется в отдельных столбцах и в неё вводятся элементы, компенсирующие перенос параметров. Вектор \bar{X}_* уже содержит неизвестные начальные и конечные граничные параметры всех стержней системы, как это и имеет место в методе граничных элементов.

Матрица фундаментальных ортонормированных функций A_* будет квадратной матрицей размером 208×208 , а векторы X_* , Y , B состоят из 208 элементов.

Таким образом, решение прямых задач механики линейных систем с помощью уравнений метода начальных параметров сводится к решению системы линейных алгебраических уравнений относительно неизвестных начальных параметров стержней.

Данную раму можно рассматривать и методом конечных элементов (МКЭ). Результаты сведены в таблицу 1.

Максимальные напряжения и прогибы

Таблица 1

Метод расчета	Кол-во узлов	Кол-во элементов	Напряжения, МПа	Прогиб, м
МГЭ	20	26	46,0	0,0030
МКЭ	17312	16998	46,4	0,0031

Выводы

Из таблицы следует, что результаты двух методов отличаются незначительно, что свидетельствует, во-первых, о достоверности результатов расчета, а во-вторых, можно оценить эффективность МГЭ относительно МКЭ. Так, для решения задачи по МГЭ нужно решить 208 уравнений, а по МКЭ потребовалось решить более 30000 уравнений. В этом контексте следует вывод о значительном преимуществе МГЭ перед МКЭ.

Summary

We consider the calculation of the space frame consisting of thin rods, the boundary element method. A comparative analysis of the BEM and FEM.

Литература

1. Дашенко А.Ф. Численно-аналитический метод граничных элементов / Дашенко А.Ф., Коломиец Л.В., Оробей В.Ф., Сурьянинов Н.Г. — в 2-х т. — Одесса, ВМВ, 2010.
2. Оробей В.Ф. Статический расчет неразрезной балки методами конечных и граничных элементов / Оробей В.Ф., Сурьянинов Н.Г., Лазарева Д.В. — Труды ОНПУ, 2004 г., вып. 2(22).— с.16-18.